

Une présentation simple, clair et drôle pour comprendre FiltrOptim

# Le filtrage numérique

## POUR LES NULS



par Olivier Sentieys

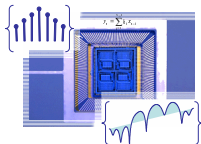
# Analyse et synthèse des filtres numériques: une introduction

Olivier Sentieys

ENSSAT - Université de Rennes 1  
IRISA - CAIRN

sentieys@irisa.fr  
<http://r2d2.enssat.fr/enseignements/Tns>

28 mai 2008



# Plan

## 0 Introduction

## 1 Signaux à temps discrets

- Signaux à temps discret de base
- Transformée en  $Z$
- Transformée de Fourier d'un signal discret
- Condition d'existence de la  $TF$
- Transformée de Fourier discrète

# Plan

## 2 Systèmes discrets

- Systèmes discrets linéaires invariants dans le temps
- Représentation fréquentielle des systèmes discrets

## 3 Filtres numériques

- Filtrage numérique : introduction
- Représentation d'un filtre numérique
- Spécification d'un filtre numérique
- Filtres non récursifs RIF
- Filtres récursifs RII

# Plan

- 4 Synthèse des filtres numériques RIF
  - Introduction
  - Filtres à phase linéaire
  - Synthèse par fenêtrage
  - Synthèse par échantillonnage fréquentiel
  - Synthèse par approximation optimale de fonctions
  
- 5 Références

## Introduction

Traitement (*numérique*) du signal (*numérique*) :

- **Modéliser** – ou identifier – consiste en l'analyse d'un signal ou d'un système, dans le domaine temporel ou fréquentiel (i.e. spectral). On parlera également d'estimation.
- **Synthétiser** – ou générer – un signal.
- **Transmettre** un ensemble de signaux sur un support.
- **Transformer** un ensemble de signaux à l'aide d'un système linéaire (filtrer, moduler, coder, ...) ou non linéaire ( $()^2$ ,  $||$ , ...).

## Signaux à temps discrets

- Séquence  $\mathcal{X}$  de nombres dans laquelle le  $n$ ième nombre est  $x(n)$ . On écrira :

$$\mathcal{X} = \{x(n)\} \quad -\infty < n < \infty$$

- $x(n)$  est égal à la valeur du signal analogique  $x_a(t)$  au temps  $t = nT$ , i.e.

$$x(n) = x_a(nT) \quad -\infty < n < \infty$$

- $T$  : période d'échantillonnage,  $f_e = \frac{1}{T}$  : fréquence d'échantillonnage

## Signaux à temps discret de base

- ① Impulsion unité  $\delta(n)$ ,  $\delta(n - k)$
- ② Echelon unité  $u(n)$

$$u(n) = \sum_{k=0}^{\infty} \delta(n - k) = \sum_{k=-\infty}^n \delta(k)$$

$$\delta(n) = u(n) - u(n - 1)$$

- ③  $x_1(n) = A\alpha^n$ ,  $x_2(n) = A\alpha^n u(n)$
- ④ Sinusoïde :  $x_3(n) = A \cos(n\omega_0 + \varphi)$
- ⑤ Cas général :  $x(n) = \sum_{k=-\infty}^{+\infty} x(k)\delta(n - k)$   
e.g.  $p(n) = \delta(n) + 0.5\delta(n - 2) - 0.5\delta(n - 4)$



## Signaux à temps discret de base

- ① Impulsion unité  $\delta(n)$ ,  $\delta(n - k)$
- ② Echelon unité  $u(n)$

$$u(n) = \sum_{k=0}^{\infty} \delta(n - k) = \sum_{k=-\infty}^n \delta(k)$$

$$\delta(n) = u(n) - u(n - 1)$$

- ③  $x_1(n) = A\alpha^n$ ,  $x_2(n) = A\alpha^n u(n)$
- ④ Sinusoïde :  $x_3(n) = A \cos(n\omega_0 + \varphi)$
- ⑤ Cas général :  $x(n) = \sum_{k=-\infty}^{+\infty} x(k)\delta(n - k)$   
e.g.  $p(n) = \delta(n) + 0.5\delta(n - 2) - 0.5\delta(n - 4)$

## Signaux à temps discret de base

- ① Impulsion unité  $\delta(n)$ ,  $\delta(n - k)$
- ② Echelon unité  $u(n)$

$$u(n) = \sum_{k=0}^{\infty} \delta(n - k) = \sum_{k=-\infty}^n \delta(k)$$

$$\delta(n) = u(n) - u(n - 1)$$

- ③  $x_1(n) = A\alpha^n$ ,  $x_2(n) = A\alpha^n u(n)$
- ④ Sinusoïde :  $x_3(n) = A \cos(n\omega_0 + \varphi)$
- ⑤ Cas général :  $x(n) = \sum_{k=-\infty}^{+\infty} x(k)\delta(n - k)$   
e.g.  $p(n) = \delta(n) + 0.5\delta(n - 2) - 0.5\delta(n - 4)$

## Signaux à temps discret de base

- ① Impulsion unité  $\delta(n)$ ,  $\delta(n - k)$
- ② Echelon unité  $u(n)$

$$u(n) = \sum_{k=0}^{\infty} \delta(n - k) = \sum_{k=-\infty}^n \delta(k)$$

$$\delta(n) = u(n) - u(n - 1)$$

- ③  $x_1(n) = A\alpha^n$ ,  $x_2(n) = A\alpha^n u(n)$
- ④ Sinusoïde :  $x_3(n) = A \cos(n\omega_0 + \varphi)$
- ⑤ Cas général :  $x(n) = \sum_{k=-\infty}^{+\infty} x(k)\delta(n - k)$   
e.g.  $p(n) = \delta(n) + 0.5\delta(n - 2) - 0.5\delta(n - 4)$

## Signaux à temps discret de base

- ① Impulsion unité  $\delta(n)$ ,  $\delta(n - k)$
- ② Echelon unité  $u(n)$

$$u(n) = \sum_{k=0}^{\infty} \delta(n - k) = \sum_{k=-\infty}^n \delta(k)$$

$$\delta(n) = u(n) - u(n - 1)$$

- ③  $x_1(n) = A\alpha^n$ ,  $x_2(n) = A\alpha^n u(n)$
- ④ Sinusoïde :  $x_3(n) = A \cos(n\omega_0 + \varphi)$
- ⑤ Cas général :  $x(n) = \sum_{k=-\infty}^{+\infty} x(k)\delta(n - k)$   
e.g.  $p(n) = \delta(n) + 0.5\delta(n - 2) - 0.5\delta(n - 4)$

## Transformée en $Z$

La transformée en  $Z$  bilatérale d'un signal à temps discret  $x(n)$  est définie par :

$$Z[x(n)] = X(z) = \sum_{n=-\infty}^{\infty} x(n)z^{-n} \quad (1)$$

où  $z$  est une variable complexe ( $z \in \mathbb{C}$ ) définie partout où cette série converge.

## $TF$ d'un signal discret (non périodique)

Pour un signal  $x(n)$  discret quelconque non périodique, sa transformée de Fourier ( $TF$ ) s'écrit :

$$X(e^{j\Omega}) = \sum_{n=-\infty}^{\infty} x(n)e^{-j\Omega n} \quad (2)$$

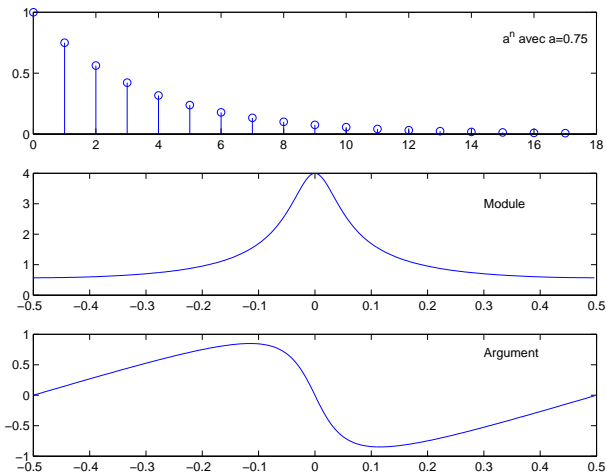
$X(e^{j\Omega})$  peut être exprimé à partir de la transformée en  $Z$  par la relation :

$$X(e^{j\Omega}) = \sum_{n=-\infty}^{\infty} x(n)z^{-n} \Big|_{z=e^{j\Omega}} = X(z) \Big|_{z=e^{j\Omega}} \quad (3)$$

- $X(\Omega)$  est *périodique* de période  $2\pi$ . Ceci implique que **le spectre d'un signal discret est périodique.**

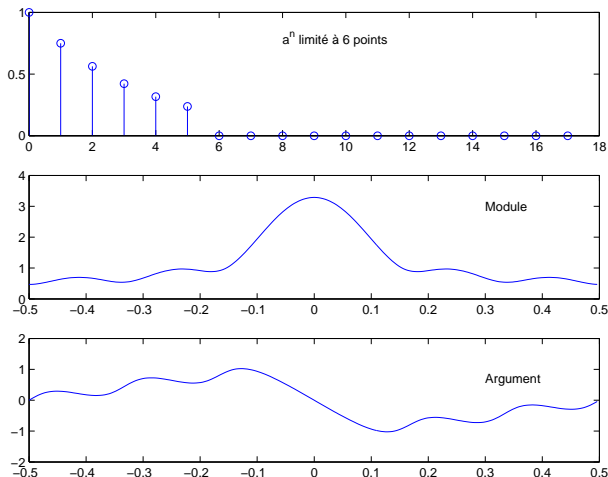
## TF d'un signal discret non périodique

Exemple :  $x(n] = a^n u(n]$



# TF d'un signal discret non périodique

Exemple :  $x(n) = a^n$ , pour  $n = 0 \dots N - 1$





## Condition d'existence de la $TF$ (1/3)

Une condition suffisante à la convergence de la  $TF$  peut être déterminée comme suit ( $x(n)$  est dite *absolument sommable*) :

$$|X(e^{j\Omega})| \leq \sum_{n=-\infty}^{\infty} |x(n)| < \infty$$

De plus, la série converge uniformément vers une fonction continue de  $\Omega$ .

Certaines séquences ne sont pas *absolument sommables* mais sont de *carré sommable* (ou à énergie finie), i.e.

$$\sum_{n=-\infty}^{\infty} |x(n)|^2 < \infty \quad (4)$$

## Condition d'existence de la $TF$ (2/3)

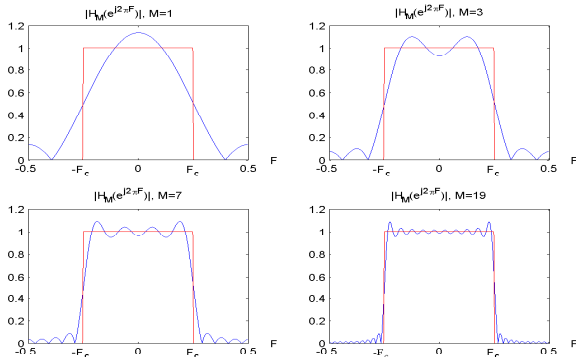
Ces séquences peuvent être représentées par une transformée de Fourier mais sans convergence uniforme de la somme infinie définissant  $X(e^{j\Omega})$ . Cela signifie que l'erreur  $|X(e^{j\Omega}) - X_M(e^{j\Omega})|$  ne tend pas vers 0 quand  $M \rightarrow \infty$  mais que par contre l'énergie de l'erreur tend vers 0.

Exemple :

$$H(e^{j\Omega}) = \begin{cases} 1, & |\Omega| < \Omega_c \\ 0, & \Omega_c < |\Omega| \leq \pi \end{cases} \quad \Rightarrow \quad h(n) = \frac{\sin n\Omega_c}{n\pi}, \quad -\infty < n < \infty$$

Condition d'existence de la  $TF$  (3/3)

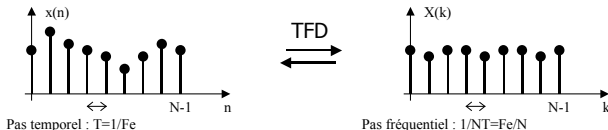
$$H_M(e^{j\Omega}) = \sum_{n=-M}^M \frac{\sin n\Omega_c}{n\pi} e^{-jn\Omega}$$



# Transformée de Fourier discrète

$$X(k) = \sum_{n=0}^{N-1} x(n) e^{-j \frac{2\pi kn}{N}}, \quad k = 0, \dots, N-1 \quad (5)$$

$$x(n) = \frac{1}{N} \sum_{k=0}^{N-1} X_k e^{j \frac{2\pi kn}{N}}, \quad n = 0, \dots, N-1 \quad (6)$$



## 4. Systèmes discrets

- 1 Systèmes linéaires invariants dans le temps
- 2 Représentation temporelle
- 3 Analyse par transformée en  $Z$
- 4 Représentation fréquentielle

## Systèmes discrets linéaires invariants dans le temps

- ① Un signal d'entrée  $e(n)$  est *transformé* en un signal de sortie  $s(n)$  :

$$s(.) = \mathcal{T}[e(.)]$$

- ② Un système est dit *linéaire* et *invariant* dans le temps ssi :

$$\mathcal{T}[a \times e_1(n) + b \times e_2(n)] = a \times \mathcal{T}[e_1(n)] + b \times \mathcal{T}[e_2(n)]$$

$$\forall e_1(.), \forall e_2(.), \forall (a, b)$$

$$e(n) \xrightarrow{\mathcal{T}} s(n) \quad \Rightarrow \quad e(n - k) \xrightarrow{\mathcal{T}} s(n - k) \quad \forall e(.), \forall k \in (\mathbb{N})$$

## Produit de convolution (1/2)

$$e(n) = \sum_{k=-\infty}^{+\infty} e(k)\delta(n-k)$$

$$s(n) = \mathcal{T}[e(n)] = \mathcal{T}\left[\sum_{k=-\infty}^{+\infty} e(k)\delta(n-k)\right] = \sum_{k=-\infty}^{+\infty} e(k)\mathcal{T}[\delta(n-k)]$$

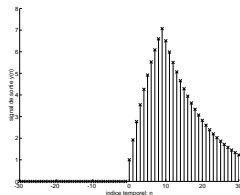
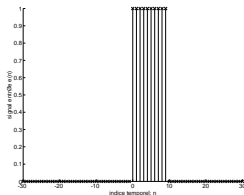
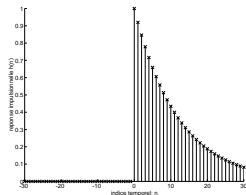
On pose  $h(n) = \mathcal{T}[\delta(n)]$ , alors

$$s(n) = \sum_{k=-\infty}^{+\infty} e(k)h(n-k) = e(n) * h(n) = h(n) * e(n)$$

## Produit de convolution (2/2)

Un système discret est donc entièrement caractérisé par sa *réponse impulsionnelle*  $h(n)$ . L'opération  $*$  liant la sortie  $s(n)$  à l'entrée  $e(n)$  et à la réponse impulsionnelle du système  $h(n)$  est appelée produit de convolution.

### Exemple



$h(n)$  : réponse impulsionnelle ;  $e(n)$  : entrée du système ;  $s(n)$  :  
réponse du système à l'entrée



## Equation aux différences finies

Une équation aux différences finies peut s'écrire sous la forme :

$$s(n) = - \sum_{k=1}^N a_k s(n - k) + \sum_{k=0}^M b_k e(n - k) \quad (7)$$

- Système *récurif* ou *non-récurif*
- Réponse impulsionnelle infinie (RII ou IIR) ou finie (RIF ou FIR)

## Fonction de transfert en $z$ (1/2)

La fonction de transfert en  $z$   $H(z)$  d'un système est définie par :

$$H(z) = \frac{S(z)}{E(z)} \quad (8)$$

**$H(z)$  est également la transformée en  $Z$  de la réponse impulsionnelle  $h(n)$  du système.**

À partir de l'équation aux différences (7), on obtient :

$$H(z) = \frac{\sum_{k=0}^M b_k z^{-k}}{1 + \sum_{k=1}^N a_k z^{-k}} = \frac{N(z)}{D(z)} \quad (9)$$

## Représentation fréquentielle des SLD (1/2)

Soit l'entrée  $e(n) = e^{jn\omega T} = e^{jn\Omega}$  pour  $-\infty < n < +\infty$  d'un SLI de réponse impulsionnelle  $h(k)$ . La sortie peut alors s'écrire :

$$s(n) = \sum_{k=-\infty}^{\infty} h(k)e^{j(n-k)\Omega} = e^{jn\Omega} \sum_{k=-\infty}^{\infty} h(k)e^{-jk\Omega}$$

$$H(e^{j\Omega}) = \sum_{k=-\infty}^{\infty} h(k)e^{-jk\Omega}$$

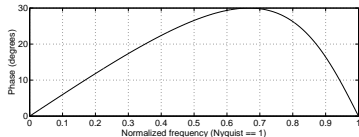
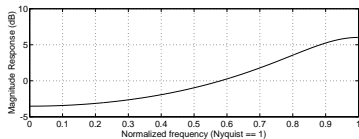
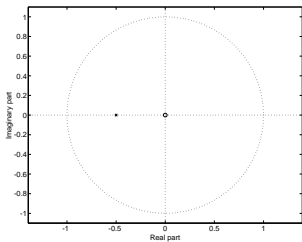
$H(e^{j\Omega})$  est appelé *réponse fréquentielle* du système. On étudie son module et sa phase :

$$H(e^{j\Omega}) = |H(e^{j\Omega})|e^{j\arg[H(e^{j\Omega})]}$$

## Représentation fréquentielle des SLD (2/2)

Exemple :

$$H(z) = \frac{1}{1 + 0.5z^{-1}}$$



# Plan

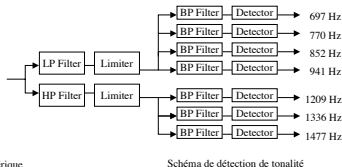
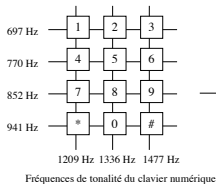
- 4 Filtres numériques
  - Filtrage numérique : introduction
  - Représentation d'un filtre numérique
  - Spécification d'un filtre numérique
  - Filtres non récursifs RIF
  - Filtres récursifs RII

## Filtre numérique : définition

*Système Linéaire Discret (SLD) modifiant la représentation temporelle et fréquentielle de signaux*

### Exemples

- Réduction de bruit pour des signaux radio, des images issues de capteurs, ou encore des signaux audio
- Modification de certaines zones de fréquence dans un signal audio ou sur une image
- Limitation à une bande fréquentielle pré-définie
- Fonctions spéciales (dérivation, intégration, transformée de Hilbert, ...)
- Exemple du code DTMF (Digital Tone Multiple Frequency) utilisé en téléphonie :



## Représentation d'un filtre numérique (1/2)

Un filtrage numérique peut être représenté en utilisant plusieurs types de spécifications.

### 1 Fonction de transfert en $z$ :

$$H(z) = \frac{N(z)}{D(z)} = \frac{\sum_{i=0}^N b_i \cdot z^{-i}}{1 + \sum_{i=1}^N a_i \cdot z^{-i}} \quad (10)$$

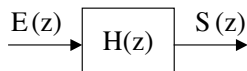
### 2 Réponse impulsionnelle (transformée en $z$ inverse de $H(z)$ ) :

$$H(z) = \sum_{n=0}^{\infty} h(n) \cdot z^{-n} \quad (11)$$

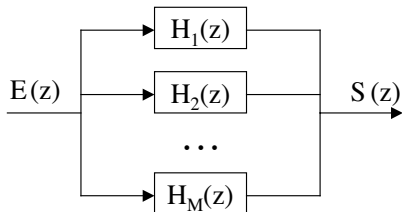
### 3 Équation aux différences :

$$y(n) = \sum_{i=0}^N b_i \cdot x(n-i) - \sum_{i=0}^N a_i \cdot y(n-i) \quad (12)$$

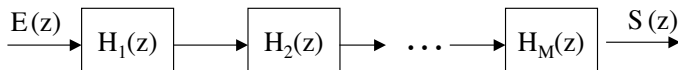
## Représentation d'un filtre numérique (2/2)



a) Forme directe



b) Forme parallèle

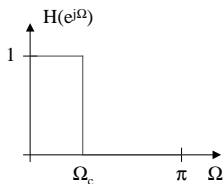


c) Forme cascade

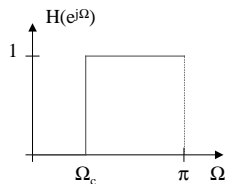
Fig.: Représentations sous forme de fonctions de transfert en  $z$



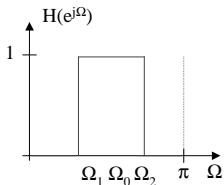
## Plusieurs types de filtres



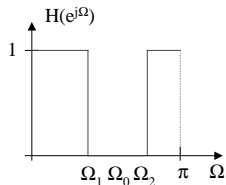
a) Filtre passe-bas



b) Filtre passe-haut



c) Filtre passe-bande

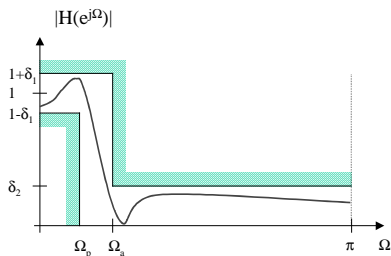


d) Filtre réjecteur-de-bande

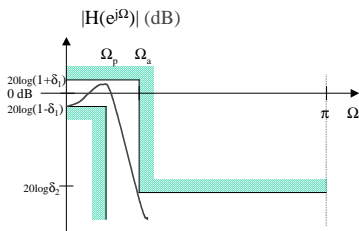
Fig.: Représentation de différents filtres idéaux

## Gabarit fréquentiel

Un filtre passe-bas (ou passe-haut) possède trois zones : la bande passante ( $0 \leq \Omega \leq \Omega_p$ ), la bande de transition ( $\Omega_p \leq \Omega \leq \Omega_a$ ) et la bande atténuée ( $\Omega_a \leq \Omega \leq \pi$ ).



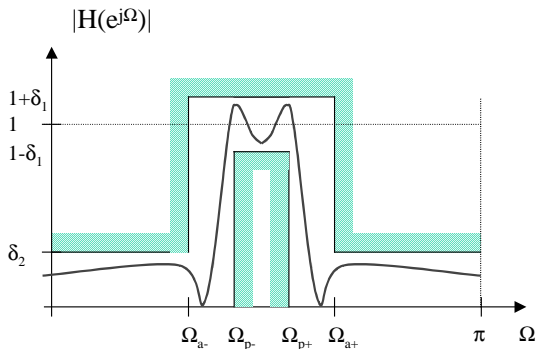
a) Gabarit fréquentiel linéaire



b) Gabarit fréquentiel en dB

## Gabarit fréquentiel

Un filtre passe-bande (ou réjecteur de bande) possède plusieurs zones : la bande passante ( $\Omega_{p-} \leq \Omega \leq \Omega_{p+}$ ), deux bandes de transition et deux bandes atténuées ( $0 \leq \Omega \leq \Omega_{a-}$  et  $\Omega_{a+} \leq \Omega \leq \pi$ ).



## Classification

Les filtres numériques peuvent être classés selon plusieurs critères :

- 1 la longueur de la réponse impulsionnelle implique deux types de filtres :  
**RIF**, i.e.  $h(n) = 0$  pour  $n < 0$  et  $n > N$   
**RII**, i.e.  $h(n) \neq 0 \forall n$ ,
- 2 le type de représentation, ou de structure, implique deux types de filtres récursifs ( $a_i \neq 0$ ) et non récursifs.

*A l'exception de cas particuliers, les filtres récursifs et non récursifs sont respectivement équivalents aux filtres RII et RIF.*

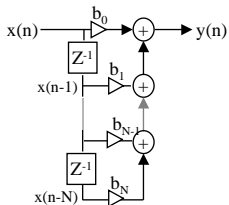
## Filtres non récurrents RIF

Les principales caractéristiques des filtres RIF sont :

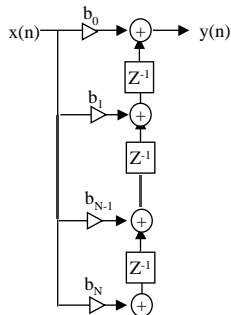
- 1 une bande de transition qui sera toujours plus large qu'un filtre RII ayant le même nombre de coefficients ;
- 2 des méthodes de synthèse permettant de dériver n'importe quelle réponse fréquentielle ;
- 3 une stabilité inhérente ( $\sum_{n=0}^{N-1} |h(n)| < \infty$ ) ;
- 4 une plus grande stabilité numérique que les RII ;
- 5 une phase qui peut être exactement linéaire, par conséquent un temps de propagation de groupe constant et une absence de distorsion harmonique dans le signal ;
- 6 une plus grande facilité d'implantation dans un système numérique de traitement.

## Structure des filtres RIF

$$y(n) = \sum_{i=0}^N b_i \cdot x(n-i) = b_0 \cdot x(n) + b_1 \cdot x(n-1) + \dots + b_{N-1} \cdot x(n-N+1) + b_N \cdot x(n-N)$$



a) Structure directe



b) Structure transposée

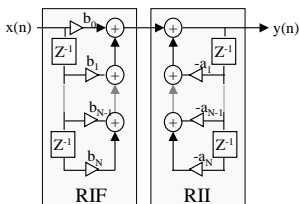
## Filtres récurrents RII

Les principales caractéristiques des filtres RII sont :

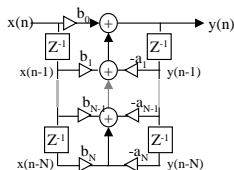
- ① une bande de transition qui peut être étroite ;
- ② une instabilité potentielle due à des pôles de  $H(z)$  situés en dehors du cercle unité ;
- ③ une complexité plus faible qu'un RIF à sélectivité équivalente ;
- ④ une plus grande sensibilité numérique (quantification des coefficients, bruits de calculs).

## Structure des filtres RII

$$H(z) = \frac{N(z)}{D(z)} = [N(z)] \times \left[ \frac{1}{D(z)} \right] = \left[ \sum_{i=0}^N b_i \cdot z^{-i} \right] \times \left[ \frac{1}{1 + \sum_{i=1}^N a_i \cdot z^{-i}} \right]$$



a) Cascade

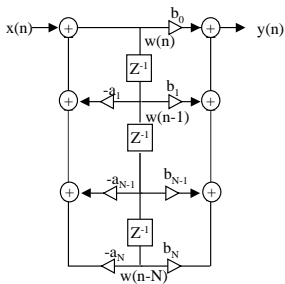


b) Structure directe

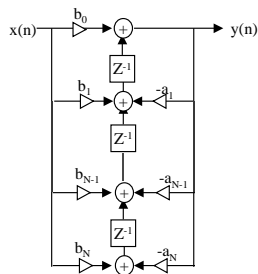


## Structure des filtres RII

$$H(z) = \left[ \frac{1}{D(z)} \right] \times [N(z)] = \left[ \frac{1}{1 + \sum_{i=1}^N a_i \cdot z^{-i}} \right] \times \left[ \sum_{i=0}^N b_i \cdot z^{-i} \right]$$



a) Structure canonique directe



b) Structure canonique transposée

# Plan

- 5 Synthèse des filtres numériques RIF
  - Introduction
  - Filtres à phase linéaire
  - Synthèse par fenêtrage
  - Synthèse par échantillonnage fréquentiel
  - Synthèse par approximation optimale de fonctions

# Introduction

Trois principales méthodes :

- ① **la méthode du fenêtrage (windowing)** consiste à appliquer une fenêtre de taille  $N$  au filtre idéal équivalent ;
- ② **la méthode de l'échantillonnage fréquentiel** utilise la Transformée de Fourier Discrète inverse depuis une fonction discrète représentative du filtre et définie en fréquence ;
- ③ **les méthodes d'optimisation** se concentrent sur la minimisation d'un critère d'erreur entre la courbe réelle et le filtre idéal. La plus utilisée est la méthode de Parks and McClellan [PM73], qui reformule le problème de synthèse de filtre sous la forme d'une approximation polynômiale.

## Filtres à phase linéaire

$$H(e^{j\Omega}) = A(e^{j\Omega})e^{-j\alpha\Omega+j\beta}$$

$$H(e^{j\Omega}) = H(z)|_{z=e^{j\Omega}} = \sum_{n=0}^{N-1} h(n).e^{-jn\Omega}$$

Premier cas :  $\varphi(\Omega) = -\alpha\Omega$ ,  $-\pi \leq \Omega \leq \pi$

$$H(e^{j\Omega}) = A(e^{j\Omega})[\cos \alpha\Omega - j \sin \alpha\Omega] = \sum_{n=0}^{N-1} h(n)[\cos n\Omega - j \sin n\Omega]$$

$$\implies \sum_{n=0}^{N-1} h(n) \sin[(\alpha - n)\Omega] = 0$$

## Filtres à phase linéaire

$$\begin{cases} \alpha = \frac{N-1}{2} \\ h(n) = h(N-1-n) \text{ pour } 0 \leq n \leq \alpha \end{cases}$$

La réponse impulsionnelle est donc **symétrique** par rapport à  $\alpha$ .

Second cas :  $\varphi(\Omega) = \beta - \alpha\Omega$ ,  $-\pi \leq \Omega \leq \pi$

$$\begin{cases} \beta = \pm\pi/2 \\ \alpha = \frac{N-1}{2} \\ h(n) = -h(N-1-n) \text{ pour } 0 \leq n \leq \alpha \end{cases}$$

La réponse impulsionnelle est donc **antisymétrique**.

On déduit de ces deux cas que selon la parité de  $N$  et le type de symétrie de  $h(n)$ , quatre types distincts de filtres sont à étudier.

## Filtre RIF à phase linéaire de type I

Un filtre RIF à phase linéaire de type I est défini par une réponse impulsionnelle symétrique :

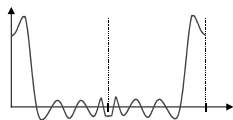
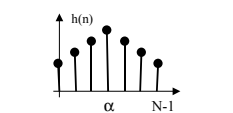
$$h(n) = h(N - 1 - n), \quad 0 \leq n \leq \alpha$$

avec  $N$  impair.  $\alpha = \frac{N-1}{2}$  est entier. La réponse fréquentielle du filtre est :

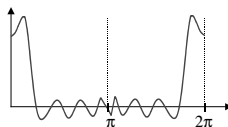
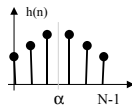
$$H(e^{j\Omega}) = e^{-j\frac{N-1}{2}\Omega} \sum_{n=0}^{\frac{N-1}{2}} a_n \cdot \cos(n\Omega)$$

$$a_0 = h\left(\frac{N-1}{2}\right)$$

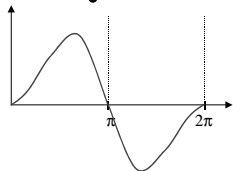
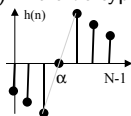
$$a_n = 2h\left(\frac{N-1}{2} - n\right), \quad n = 1, \dots, \frac{N-1}{2}$$



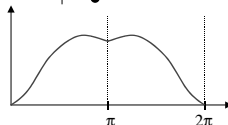
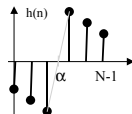
a) Filtre de type I



b) Filtre de type II



c) Filtre de type III



d) Filtre de type IV

## Synthèse par fenêtrage

Soit un filtre numérique idéal  $H(e^{j\Omega})$ , périodique de période  $2\pi$  :

$$H(e^{j\Omega}) = \sum_{n=-\infty}^{\infty} h(n)e^{-jn\Omega}$$

de réponse impulsionnelle

$$h(n) = \frac{1}{2\pi} \int_{-\pi}^{\pi} H(e^{j\Omega}) e^{jn\Omega} d\Omega$$

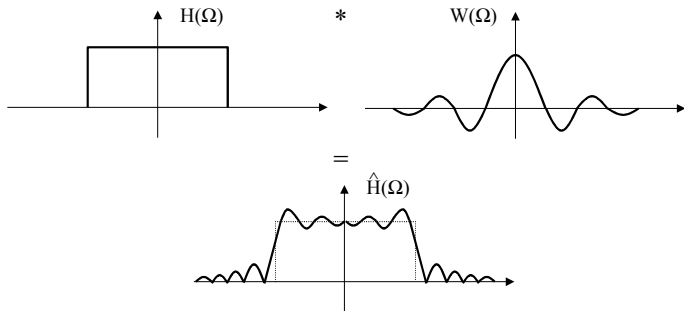
Ce filtre est non causal et à réponse impulsionnelle infinie. La manière la plus simple d'obtenir un filtre RIF approchant  $H(e^{j\Omega})$  est de limiter  $h(n)$  par :

$$\hat{h}(n) = \begin{cases} h(n) \cdot w(n), & 0 \leq n < N \\ 0, & n < 0 \text{ et } n \geq N \end{cases}$$

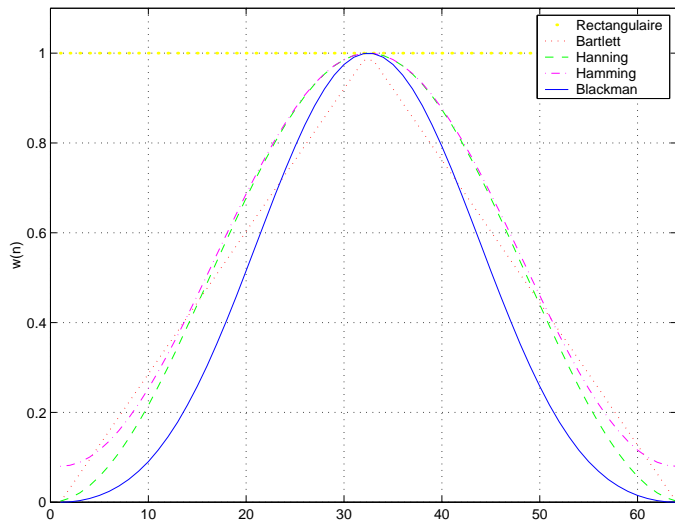


## Synthèse par fenêtrage

$$\begin{aligned}\hat{H}(e^{j\Omega}) &= \sum_{n=0}^{N-1} h(n) \cdot w(n) \cdot e^{-jn\Omega} \\ &= H(e^{j\Omega}) * W(e^{j\Omega})\end{aligned}$$



# Principales fenêtres



## Principales fenêtres

### Rectangulaire

$$w(n) = \begin{cases} 1, & 0 \leq n < N \\ 0, & n < 0 \text{ et } n \geq N \end{cases}$$

### Hanning

$$w(n) = \begin{cases} 0.5 - 0.5 \cos\left(\frac{2\pi n}{N-1}\right), & 0 \leq n \leq N-1 \\ 0, & n < 0 \text{ et } n \geq N \end{cases}$$

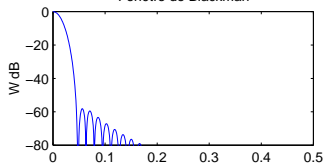
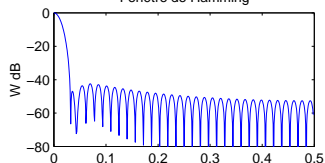
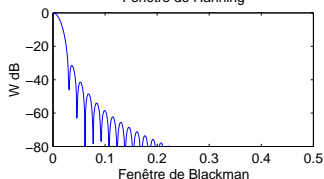
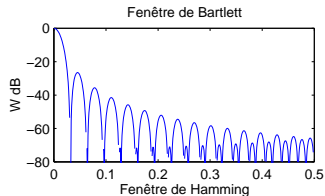
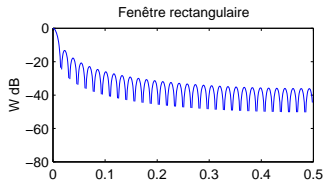
### Hamming

$$w(n) = \begin{cases} 0.54 - 0.46 \cos\left(\frac{2\pi n}{N-1}\right), & 0 \leq n \leq N-1 \\ 0, & n < 0 \text{ et } n \geq N \end{cases}$$

### Blackman

$$w(n) = \begin{cases} 0.42 - 0.5 \cos\left(\frac{2\pi n}{N-1}\right) + 0.08 \cos\left(\frac{4\pi n}{N-1}\right), & 0 \leq n \leq N-1 \\ 0, & n < 0 \text{ et } n \geq N \end{cases}$$

# Principales fenêtres



## Choix de la fenêtre

Type de fenêtre	Rapport d'amplitude entre lobe principal et lobe secondaire $\lambda$	Largeur du lobe principal $\Delta\Omega_m$	Atténuation minimale en bande atténuée $\Delta A$
Rectangulaire	$-13dB$	$4\pi/N$	$-21dB$
Bartlett	$-25dB$	$8\pi/N$	$-25dB$
Hanning	$-31dB$	$8\pi/N$	$-44dB$
Hamming	$-41dB$	$8\pi/N$	$-53dB$
Blackman	$-57dB$	$12\pi/N$	$-74dB$

Tab.: Caractéristiques des principales fenêtres

## Choix de la fenêtre

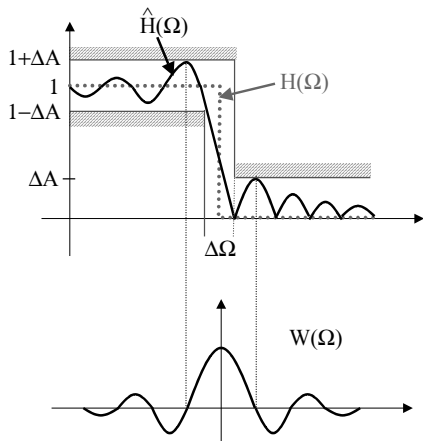
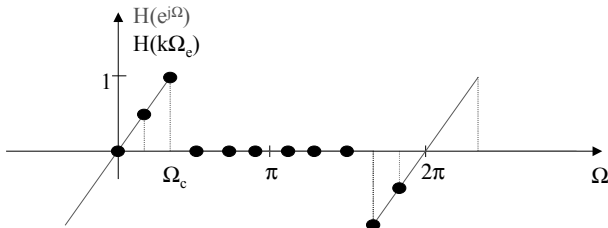


Fig.: Illustration de l'effet du fenêtrage sur le filtre idéal

## Synthèse par échantillonnage fréquentiel

Echantillonnage en fréquence du filtre idéal  $H(e^{j\Omega})$  :

$$\hat{H}(e^{jk\Omega_e}) \triangleq H(e^{j\Omega})|_{\Omega=\frac{2k\pi}{N}=k\cdot\Omega_e}$$



TFD inverse :

$$\hat{h}(n) = \frac{1}{N} \sum_{k=0}^{N-1} \hat{H}(e^{jk\Omega_e}) e^{2j\pi \frac{n \cdot k}{N}}, \quad n = 0, 1, \dots, N-1$$

## Synthèse par approximation optimale de filtres idéaux

La synthèse par fenêtrage rectangulaire équivaut à minimiser l'erreur quadratique moyenne pour une valeur donnée de  $N$  :

$$\epsilon^2 = \frac{1}{2\pi} \int_{-\pi}^{\pi} |H_d(e^{j\Omega}) - H(e^{j\Omega})|^2 d\Omega$$

avec

$$h_d(n) = \begin{cases} h(n), & 0 \leq n < N \\ 0, & n < 0 \text{ et } n \geq N \end{cases}$$

mais il existe des imperfections dues aux discontinuités du filtre idéal.

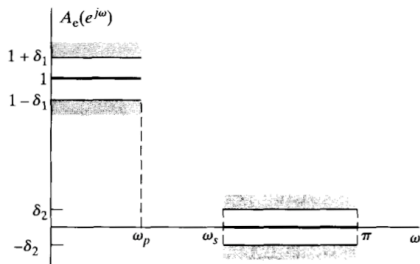


## Approximation de filtres RIF à phase linéaire (type I)

Réponse fréquentielle d'un filtre à phase linéaire ( $h(n)$  symétrique,  $N$  impair) :

$$A_e(e^{j\Omega}) = h_e(0) + \sum_{n=1}^L 2.h_e(n). \cos(n\Omega)$$

$$L = \frac{N-1}{2}, h_e(0) = h\left(\frac{N-1}{2}\right), h_e(n) = h\left(\frac{N-1}{2} - n\right)$$



## Technique de Parks-McClellan [PM73]

Reformulation de la synthèse de filtres sous la forme d'une approximation polynomiale :

$$A_e(e^{j\Omega}) = P(x)|_{x=\cos \Omega}$$

avec  $P(x)$  un polynôme d'ordre  $L$  tel que :

$$P(x) = \sum_{k=0}^L a_k \cdot x^k$$

$\Omega_p$  et  $\Omega_s$  sont fixés, tandis que  $\delta_1$  et  $\delta_2$  peuvent varier.

## Technique de Parks-McClellan

Fonction d'erreur d'approximation :

$$E(\Omega) = W(\Omega) (H_d(e^{j\Omega}) - A_e(\Omega))$$

où la fonction de poids  $W(\Omega)$  incorpore les contraintes sur les bandes. Par exemple :

$$W(\Omega) = \begin{cases} 1/K, & 0 \leq \Omega \leq \Omega_p \\ 1, & \Omega_s \leq \Omega \leq \pi \end{cases}$$

avec  $K = \delta_1/\delta_2$ .

## Technique de Parks-McClellan

Critère minimax (ou Chebyshev) :

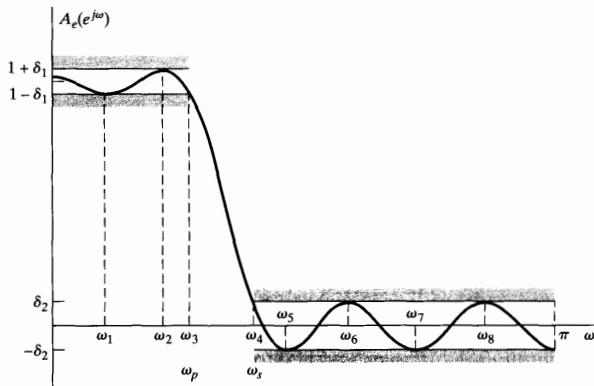
$$\min_{h_e(n): 0 \leq n \leq L} \left( \max_{\Omega \in F} |E(\Omega)| \right)$$

avec  $F$  le sous-ensemble tel que  $0 \leq \Omega \leq \Omega_p$  ou  $\Omega_s \leq \Omega \leq \pi$ .

Ensuite, la technique de Parks Mc-Clellan applique "*the famous alternation theorem*"...

## Technique de Parks-McClellan

Exemple de réponse fréquentielle d'un filtre passe bas optimale au sens du théorème d'*alternation* pour  $L = 7$



Pour plus de détails : [PM73], [OS99]

## Technique de Parks-McClellan

$$N = ?$$

Etude due à [Kaiser,73] :

$$N = \frac{-10 \log_{10} \delta_1 \delta_2 - 13}{2.324 \Delta\Omega}$$

On peut sûrement faire mieux...

## Pour plus d'informations...



T.W. Parks and J.H. McClellan.

A unified approach to the design of optimum linear phase digital filters.  
*IEEE Transactions on Circuit Theory*, 20 :697–701, Nov. 1973.



J. McClellan, R. Schafer, and M. Yoder.

*DSP First : a Multimedia Approach*.  
Prentice Hall, 1998.



A. V. Oppenheim and R. W. Schafer.

*Discrete-Time Signal Processing, second edition*.  
Prentice-Hall, 1999.



J. Proakis and D. Manolakis.

*Digital Signal Processing : Principles, Algorithms and Applications*.  
Prentice Hall, 1996.